

زیست‌شناسی گیاهی، سال دوم، شماره ششم، زمستان ۱۳۸۹، صفحه ۱۵-۲۸

تاریخ دریافت مقاله: ۱۳۸۹/۰۲/۲۱

تاریخ بررسی مجدد: ۱۳۸۹/۰۵/۰۸

تاریخ بررسی مجدد: ۱۳۸۹/۰۷/۱۱

تاریخ پذیرش نهایی: ۱۳۸۹/۰۷/۱۷

مطالعه مراحل تکوین دانه گرده و تخمه در *Inula aucheriana* DC.

عبدالکریم چهرگانی راد^{۱*}، سمیه حاجی صادقیان و فربنا محسن‌زاده^۱

^۱ گروه زیست‌شناسی، دانشکده علوم، دانشگاه بولی سینا، همدان

چکیده

در این پژوهش مراحل و چگونگی تکوین تخمه و دانه گرده در گیاه *Inula aucheriana* بررسی گردید. گل‌ها و غنچه‌ها در مراحل مختلف نمو برداشت شده، در FAA₇₀ ثبیت و سپس در الکل ۷۰٪ نگهداری شدند. نمونه‌ها پس از آماده‌سازی و قالب گیری در پارافین، با میکروتوم برش گیری گردید. رنگ آمیزی با پریودیک اسید شیف و نیز با هماتوکسیلین انجام گرفت. نتایج نشان داد که در این گیاه بساک‌ها دارای ۴ کیسه گرده بوده و لایه مغذی آن از نوع پری‌پلاسمودیومی کاذب است. سیتوکینز همزمان بوده و ترادهای میکروسپور فقط از نوع چهار گوش (تراتاگونال) است. دانه‌های گرده در زمان انتشار دو یاخته‌ای، دارای سه شکاف رویشی و با تزیینات سوزنی شکل هستند. تخمه از نوع واژگون، تک پوسته‌ای و کم خورش است. لایه اندوتلیوم از یک ردیف یاخته تشکیل شده است. نمو کیسه رویانی بر اساس الگوی مونوسپوریک و تیپ پلی‌گونوم صورت می‌گیرد. پس از تقسیم میوز ترادهای مگاسپور آرایش T شکل دارند. در این گونه، مگاسپور عملکردی موقعیت شالازی دارد. کیسه رویانی ابتدا بسیار کوچک است، به طوری که هسته‌های آن آرایش خطی فشرده را به خود می‌گیرند. در جریان بلوغ کیسه رویانی هرچند باریک باقی می‌ماند، اما رشد طولی درخور توجهی پیدا می‌کند. هسته یاخته‌های آتنی بود حجم و حالت پلی‌پلوییدی دارد. بر اساس نتایج این پژوهش، کریستال‌های سوزنی شکل در سلول‌های اپیدرم دیواره مادگی مشاهده شد، که از اختصاصات این گونه است. همچنین در سطح بیرونی مادگی نیز کرک‌های تکرر شهای، تک‌سلولی و بسیار طویل مشاهده گردید. گزارش حاضر، اولین گزارش دقیق درباره مراحل تکوین تخمه و دانه گرده این گونه است که می‌تواند در تفکیک آن از گونه‌های مجاور راه گشاید.

واژه‌های کلیدی: دانه گرده، تخمه، مگاسپورزایی، میکروسپورزایی، *Inula aucheriana*, Asteraceae

مقدمه

گرفته است. توسعه دانش زیست‌شناسی تکوینی و مطالعه چگونگی و مراحل تکوین اندام‌های تولید مثلی، برای حفظ گیاهان، به ویژه گیاهان نادر و در حال انقراض و نیز مهم در بخش کشاورزی ضروری است (Batygina, 1987). تیره مرکبان Asteraceae بزرگترین تیره گیاهی است

زیست‌شناسی تکوینی زایشی که مطالعه مراحل مختلف تکوین گل، یعنی اندام‌زایی گل، تکوین پرچم و دانه گرده، تکوین مادگی، تکوین تخمه و مگاگامتووفیت را شامل می‌شود، در سال‌های اخیر بیشتر مورد توجه قرار

*نویسنده مسؤول: نشانی پست الکترونیک: chehregani@basu.ac.ir، شماره تماس: ۰۸۱۱۸۲۵۷۴۰۲

آرایه‌شناختی این گروه نیز همانند سایر تیره‌های گیاهی استفاده گردد (Shamrov, 1998; Johri *et al.*, 1992). مطالعات رویان‌شناختی محدود انجام شده، ویژگی‌های استثنایی و نادر متعددی را در گیاهان این تیره نشان داده که عبارتند از: وجود پدیده Nemec؛ یعنی تشکیل ساختارهای شبیه کیسه رویانی در دانه گرده (Davis, 1964)، افزایش یاخته‌های قرینه (سینرژیدها) در کیسه رویانی Batygina (Batygina, 1982)، افزایش یاخته‌های آنتیپود (Richards, 1997; Pandey, 2001)، تکوین کیسه رویانی ۴ یاخته‌ای (Harling, 1951) و وجود آپومیکسی (Davis, 1968; Chaudhury *et al.*, 2001) بنابراین، انجام مطالعات تکوینی به منظور توسعه دانش زیست‌شناسی تولید مثلی در گیاهان این تیره ضروری است. با توجه به ارزش دارویی و وجود انسانس در (Maoz *et al.*, 1999; Zhao *et al.*, | *Inula aucheriana* 2006; Khan *et al.*, 2008) تکوینی در پژوهش حاضر انتخاب شده است. بر اساس مطالعات مرجع‌شناختی به عمل آمده، پژوهش حاضر اولین گزارش در مورد تکوین اندام‌های زایشی گونه *Inula aucheriana* است.

مواد و روش‌ها

برای مطالعه تکوین اندام‌های زایشی *J. aucheriana* گیاهان از زیستگاه‌های طبیعی در همدان جمع‌آوری شده، در هرباریوم دانشگاه بوعالی سینا (BASH) نگهداری می‌شوند. مشخصات محل جمع‌آوری آن به صورت زیر

(Bremer, 1994). بر اساس گزارش‌های باغ گیاه‌شناسی سلطنتی کیو، این تیره بیش از ۱۶۰۰ سرده و ۲۳۰۰۰ گونه دارد; Kadereit and Jeffrey 2007; Watanabe, 2002; Crawford *et al.*, 2009). در این تیره تقسیم‌بندی سرده‌ها و تشخیص مرز بین آنها اغلب مشکل زاست و برخی از آنها باید پی در پی به زیر گروه‌های کوچک‌تر تقسیم شوند (Hind *et al.*, 1995). یکی از مشکلات اساسی آرایه‌شناختی در این تیره ارتباطات بین سرده‌ها، طایفه‌ها و همچنین وجود گونه‌های چند شکل (پلی‌مورف) است (Hind, 1995)، که مطالعات تکوینی و رویان‌شناختی می‌تواند به حل مشکلات آرایه‌شناختی نیز در این تیره کمک نماید.

پراکنش جهانی وجود سرده‌ها و گونه‌های فراوان در این تیره که بسیاری از آنان خواص دارویی دارند، تیره مرکبان (Torrell *et al.*, 1999). بسیاری از گیاهان این تیره از جمله *Inula aucheriana* از نظر خواص دارویی و داشتن اسانس و مواد مؤثره، ارزش ویژه‌ای دارند (Maoz *et al.*, 1999; Zhao *et al.*, 2006; Khan *et al.*, 2008). مطالعات متعدد کاریولوژیک و فیتوشیمی در این آرایه صورت گرفته است (Vallès *et al.*, 2003; Vallès *et al.*, 2005) اما با وجود این، به نظر می‌رسد که مطالعات تکوینی و رویان‌شناختی محدودی در این تیره انجام شده است، بنابراین هنوز انجام مطالعات جدید تکوینی برای افزایش دانش و آگاهی در مطالعات گیاهان این تیره ضروری است (Shamrov, 1998). همچنین پیش‌بینی می‌شود مطالعات تکوینی و رویان‌شناختی بتواند در کنار سایر مطالعات در حل مشکلات

وجود می‌آید، برچه‌ها باز است (شکل ۱)، همچنین، مادگی دارای کاکل ریش مانند یا تار مانند است که همزمان با تشکیل پرچم و مادگی شروع به تشکیل می‌کند (شکل ۱)؛ خامه دو شاخه‌ای، بلند، در انتهای دور، و بافت کلاله‌ای به شکل دو خط حاشیه‌ای بر روی هر شاخه خامه دیده می‌شود و تا پایین خامه امتداد دارد (شکل ۲)؛ دو شاخه خامه در محل کلاله به هم نزدیک شده‌اند (شکل ۲).

تخمه از نوع واژگون است و پریموردیوم تخمه، خمیدگی را از همان مراحل اولیه آغاز می‌کند. بنیان‌گذاری پوشش تخمه در زمانی آغاز می‌شود که تخمه حدود ۹۰ درجه چرخش حاصل کرده است (شکل ۳). با افزایش میزان خمیدگی ضمن رشد، تخمه به حالت خمیده در می‌آید؛ به طوری که در آغاز تشکیل کیسه رویانی، تخمه کاملاً واژگون شده است (شکل ۷) و در نتیجه با اتصال بخشی از پوسته به بند، رافه تشکیل می‌شود (شکل‌های ۷-۹).

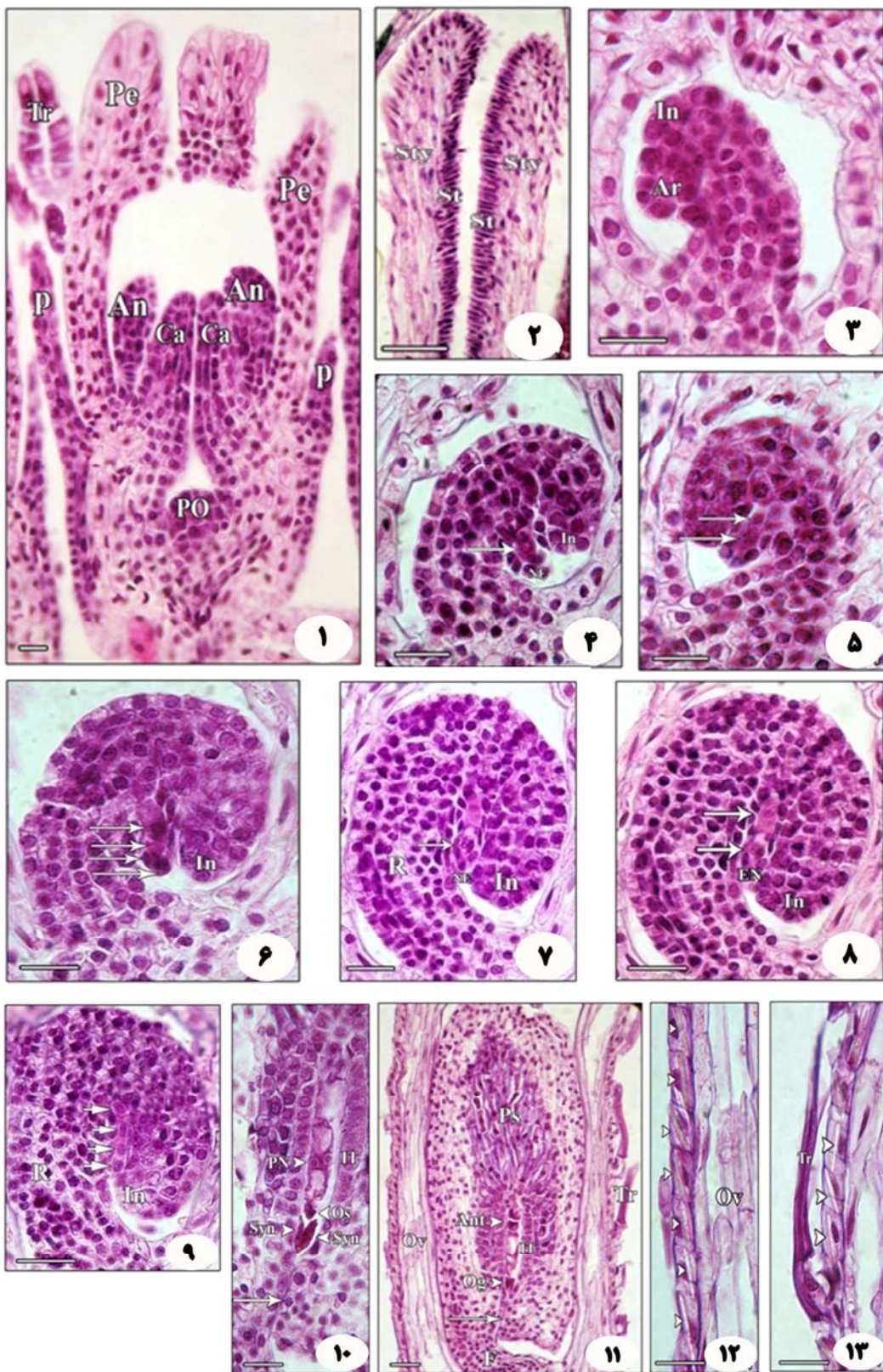
تخمه تک پوسته‌ای است و با تقسیمات شعاعی یاخته‌های سطحی پریموردیوم تخمه، بنیان‌گذاری پوسته تخمه در طرفین جسم تخمه و در قاعده خورش به صورت برجستگی چندیاخته‌ای انجام می‌شود (شکل ۳). اپیدرم خورشی در نمونه مورد بررسی فقط شامل لایه دیواره مگاسپورانژ است که یاخته مادر مگاسپور را احاطه می‌کند (شکل ۴). اپیدرم خورشی در این نمونه قبل از لقاح تجزیه می‌شود.

مشخص شد: همدان، جاده رزن به آوج، روستای امیرآباد، ارتفاع ۱۴۰۰ متری. علاوه بر این گل‌ها و غنچه‌های گیاه مورد مطالعه از گیاهان طبیعی رویش یافته در منطقه ذکر شده، در مراحل مختلف نمو برداشت شده، در تثیت کننده FAA₇₀ تثیت و در الكل ۷۰٪ نگهداری شدند. نمونه‌ها پس از قالب‌گیری در پارافین با میکروتوم برش گیری گردید. رنگ آمیزی با پریودیک اسید شیف و نیز با هماتوکسیلین طبق روش پیشنهادی توسط Yeung (۱۹۸۴) انجام گرفت. هر یک از مراحل تکوین تخمه و پرچم در چندین برش به وسیله میکروسکوپ نوری Zeiss Axiostar Plus (Germany) مجهر به دوربین دیجیتال بررسی شد. برای هر مرحله حداقل ۲۰ گل برش گیری و از بهترین آنها عکس‌برداری شد.

نتایج

تشکیل مادگی و تخمه در *I. aucheriana*

بلافاصله پس از ایجاد پریموردیوم پرچم، برجستگی مریستمی برای تشکیل مادگی شکل می‌گیرد؛ به طوری که تشکیل پرچم و مادگی تقریباً همزمان به نظر می‌رسند، اما رشد مادگی بسیار سریع صورت می‌گیرد و قبل از تکوین پرچم، پریموردیوم تخمه به صورت برجستگی کوچک پایه‌گرا دیده می‌شود (شکل ۱). در این گونه، برچه‌ها دو عدد و پیوسته است و هنگامی که پریموردیوم تخمه‌ی به



شکل ۱۳-۱- نشان دهنده مراحل تکوین تخمک، مگاسپورزایی و تکوین مگاگامتوفت در *Inula aucheriana* است: ۱) برش طولی از غنچه گل که نشان دهنده تکوین پرچم‌ها و مادگی است. در قاعده مادگی پریموردیوم تخمک قابل رویت است. پریموردیوم تخمکی زمانی به وجود می‌آید که هنوز تکوین پرچم کامل نشده است و در این زمان برچه‌ها باز است. تشکیل کاکل نیز همزمان با این تحولات آغاز می‌شود. ۲) خامه دوشاخه‌ای و بلند و در انتهای مدور است. بافت کلاله‌ای به شکل دو خط حاشیه‌ای بر روی هر شاخه خامه قرار گرفته و تا پایین کشیده شده است، دو شاخه خامه در محل کلاله به هم نزدیک شده‌اند. ۳) تخمک جوان در حال تکوین، تشکیل پوسته تخمک و سلول آرکتوسپور دیده می‌شود. ۴) برش طولی از تخمک جوان با یاخته مادر مگاسپور (me) (۱) و پوسته‌های تخمکی در حال تشکیل. ۵) سلول‌های حاصل از اولین تقسیم میوزی (دیاد) (۱۱). ۶) تخمک در مرحله تزاد T شکل (۱)، پوسته تخمکی در حال تشکیل. ۷) بخش عمداتی از جسم تخمک را فرا گرفته است. ۸) برش طولی تخمک با مگاسپور عملکردی شالازی (fme) (۱). ۹) برش طولی تخمک نشان دهنده کیسه رویانی دو هسته‌ای (۱۱). قبل از تکمیل تکوین بخش‌های فوکانی تخدمان و تشکیل خامه و کلاله، به تدریج اولین آثار تشکیل تخمک (پریموردیوم تخمک) در کف جدار تخدمان پدیدار می‌شود، یعنی تمکن از نوع قاعده‌ای است. ۱۰) برش طولی از کیسه رویانی بالغ، دستگاه تخم متشکل از یاخته تخمزا (os) و قرینه‌ها (syn) در مجاورت مجرای سُفت (۱) است. هسته‌های قطبی (pn) قابل رؤیت است. ۱۱) تخمک واژگون، کم خوش، تک پوسته‌ای و با بندی نسبتاً کوتاه (F). خورش در این نمونه دارای پوستامنت (Ps) و ضخامت دیواره تخدمان (Ov) زیاد است. پیکان مجرای سُفت را نشان می‌دهد. ۱۲) سلول‌های اپیدرم حاوی کریستال‌های سوزنی شکل‌اند (۱). ۱۳) سطح مادگی پوشیده از کرک‌های رشته‌ای تک سلولی بسیار کشیده (۱) است. شاخص معادل ۵۰ میکرومتر است.

An: بساک؛ Pe: گلبرگ؛ Tr: کرک؛ Ca: برچه؛ Po: پریموردیوم برچه؛ In: خامه؛ Sty: پوسته تخمک؛ Ar: آرکتوسپور؛ Ov: تخدمان؛ Og: دستگاه تخم؛ R: رافه؛ Mi: مجرای سُفت؛ Me: مگاگامتوسیت؛ en: اندوتیلیوم؛ mc: یاخته مادر مگاسپور؛ fme: مگاسپور عملکردی؛ pn: هسته قطبی (بعد از تلقیق هسته ثانویه)؛ ant: آنتی‌پودها؛ syn: قرینه‌ها؛ os: تخمزا؛ Ps: پوستامنت.

به صورت یک ستون از سلول‌های طویل مستقر در بخش زیرین انتهای آنتی‌پودی کیسه رویانی قرار گرفته است. سلول‌های پوستامنت از سلول‌های اطراف به وسیله سیتوپلاسم متراکم تر و دیواره‌های رنگ پذیرتر قابل تشخیص هستند.

I. aucheriana و نمو گامتوفت ماده
مگاسپوروسیت با حجم زیاد، هسته درشت، متراکم و حجیم و شکل چند وجهی خود به خوبی از سایر یاخته‌های خورش قابل تشخیص می‌باشد (شکل ۴). مگاسپوروسیت با انجام میوز مگاسپورها را تشکیل می‌دهد که ضمن رشد گامتوفت ماده یا کیسه‌رویانی را تولید می‌کنند.

در رأس خورش تنها یک یاخته آرکتوسپوری وجود دارد که در داخل پریموردیوم تخمک، این یاخته به واسطه حجم زیاد، سیتوپلاسم متراکم و هسته بزرگ آن قابل تشخیص است (شکل ۳). یاخته مادر مگاسپور از یاخته آرکتوسپوری تمایز یافه و موقعیت آن در لایه سوم است (شکل ۴).

تخمک *I. aucheriana* از نوع کم خورش است که دارای یاخته‌های به مقدار کم توسعه یافته با دیواره نازک است. یاخته‌های دیپلوید بافت خورش در این نمونه، کروی شکل و فشرده است (شکل ۱۱). از نکات متمایز کننده در این نمونه وجود پوستامنت در خورش است (شکل ۱۱). پوستامنت بافتی با خاستگاه خورشی است که

رخ داده، موجب تشكیل کیسه‌رویانی بالغ می‌شود. پدیده یاخته‌ای شدن کیسه‌رویانی همزمان با مهاجرت هسته‌های قطبی صورت می‌گیرد. سه یاخته در قطب مجاور سُفت دستگاه تخم را ایجاد می‌کند (شکل ۱۰)، که شامل یک یاخته میانی (تخمزا) و دو یاخته کناری قرینه‌ها (سینرژیدها) است (شکل ۱۰).

یاخته تخمزا کروی شکل بوده، به واسطه استقرار یک هسته درشت در قطب بُنی خود قابل تشخیص است و دو یاخته سینرژید کشیده و گلابی شکل‌اند (شکل ۱۰). در قطب بُنی یاخته‌های آنتی‌پود به وجود می‌آید (شکل ۱۱). دو هسته قطبی جدا شده از قطب‌های سُفتی و بُنی در قسمت مرکزی کیسه‌رویانی قرار می‌گیرند و یاخته مرکزی را تشكیل می‌دهند (شکل ۱۰).

در *I. aucheriana* یاخته‌های آنتی‌پود افزایش پیدا نمی‌کند و تعداد آنها از سه سلول تجاوز نمی‌کند و تا زمان تشکیل رویان از بین نمی‌روند (شکل ۱۱). آنتی‌پودها یا یاخته‌های قطب بُنی کوچک‌ترین یاخته‌های کیسه‌رویانی هستند و در این گونه گیاهی به صورت خطی در قطب بُنی ردیف می‌شوند (شکل ۱۱). دو هسته قطبی (یاخته مرکزی) به تدریج به سمت دستگاه تخم مهاجرت کرده، به طور معمول دو هسته قطبی نزدیک هم قرار می‌گیرند (شکل ۱۰). در این نمونه دو هسته قطبی در مجاورت دستگاه تخمزا و بعد از لقاح با هم تلفیق می‌شوند و ایجاد یک هسته ثانوی را می‌کنند که دارای ۲۷ کروموزوم است. کیسه‌رویانی در این نمونه از نوع پلی‌گونوم، و دوکی شکل منظم است (شکل‌های ۱۱-۱۰).

اولین تقسیم میوزی مگاسپوروسیت موجب تشكیل دو یاخته دیاد هاپلویید می‌گردد (شکل ۵) و دومین تقسیم میوزی موجب تشكیل چهار یاخته تراد می‌شود. بررسی تعداد زیادی از برش‌ها نشان داد که ترادها در این گونه از *I. aucheriana* T شکل هستند (شکل ۶). در *I. aucheriana* وقتی میوز با تشكیل ترادها به پایان می‌رسد، پوسته تخمک حدوداً تمام جسم تخمک را می‌پوشاند (شکل ۶) و این نشان می‌دهد که رشد پوسته‌های تخمک در این نمونه سریع است.

از چهار یاخته حاصل از میوز (تراد)، سه یاخته تحلیل می‌روند و در این نمونه موقعیت یاخته باقی‌مانده یا مگاسپور عملکردی در ناحیه شالازی قرار گرفته است و در نهایت به کیسه‌رویانی تحول می‌یابد (شکل ۷). هسته یاخته بنیادی کیسه‌رویانی سه تقسیم میتوزی متوالی را انجام می‌دهد. نخستین تقسیم میتوزی، موجب تشكیل دو هسته هاپلویید جدید شده، کیسه‌رویانی دو هسته‌ای را ایجاد می‌کند (شکل ۸). هر هسته نسبتاً حجم بوده، دارای هستک یا هستک‌های حجمی و بازدوست است. دومین تقسیم میتوزی نیز موجب پیدایش چهار هسته هاپلویید و در نتیجه کیسه‌رویانی چهار هسته‌ای می‌شود (شکل ۹). در نهایت، تقسیم سوم، کیسه‌رویانی هشت هسته‌ای را به وجود می‌آورد. در این مرحله کیسه‌رویانی به قدر کافی رشد نکرده است و بنابراین، هسته‌های کیسه‌رویانی به صورت خطی فشرده و نزدیک هم قرار دارند. با رشد طولی کیسه‌رویانی، در بین هشت هسته ذکر شده، واکوئل‌هایی ایجاد می‌شود و در نتیجه، چهار هسته در انتهای سُفتی و چهار هسته در انتهای بُنی قرار می‌گیرند. سپس یاخته‌ای شدن در کیسه‌رویانی

I. aucheriana و تکوین دانه گرده در این گونه، یاخته‌های بافت هاگزای به وجود آمده از یاخته‌های آرکوپور مستقیماً به میکروسپوروسیت تمایز می‌یابند. میکروسپوروسیت‌ها با سیتوپلاسم متراکم، اندازه بزرگ و هسته‌های مشخص با یاخته‌های بافت احاطه کننده متفاوتند و در این گونه گیاهی در دو ردیف قرار گرفته‌اند (شکل ۱۴). با شروع میوز، در اطراف میکروسپوروسیت‌ها، کالوز شروع به تشکیل می‌کند که در تصاویر میکروسکوپی تهیه شده به صورت یک لایه ضخیم و شفاف در اطراف میکروسپوروسیت‌ها (شکل‌های ۱۶-۱۹) و تترادها (شکل ۲۰) قابل رؤیت است. با تقسیم میوز I، در یاخته‌های مادر گرده، ابتدا ۲ یاخته n کروموزومی و با تقسیم میوز II، ۴ یاخته n کروموزومی (هاپلوید) که تتراسپور نام دارد، به وجود می‌آید.

هر میکروسپور از مراحل میوز به طور واضح عبور می‌کند، به طوری که ابتدا وارد پروفاز I شده (شکل ۱۵)، و سپس به ترتیب از مراحل متافاز I (شکل ۱۶)، آنفاز I (شکل ۱۷) و تلوفاز I (شکل ۱۸) عبور می‌کند و به این ترتیب تقسیم اول میوز کامل می‌شود. یاخته‌های هاپلوید حاصل از میوز I بلا فاصله وارد تقسیم دوم میوز می‌شوند و از مراحل متافاز II، آنفاز II و تلوفاز II (شکل ۱۹) عبور می‌کند که به تشکیل تترادهای میکروسپوری منجر می‌شود. بین هسته‌های حاصل از تلوفاز II دیواره به وجود نمی‌آید (شکل ۱۹). تترادها فقط از نوع تراگونال هستند (شکل ۲۰).

پس از تکمیل میوز II تقسیم سیتوپلاسم به طور همزمان صورت گرفته (سیتوکینز از نوع همزمان)، چهار یاخته میکروسپور (تتراد) به وجود می‌آید. در این مرحله، دیواره

با توسعه یافتن پوسته پوشاننده خورش، مجرای سُفت به وجود می‌آید که در این نمونه مورد بررسی، مجرای سُفت شکل خطی صاف دارد (شکل ۱۱). یاخته‌های لایه اندوتلیوم به صورت شعاعی امتداد یافته، چسبیده به کیسه رویانی است و دارای هسته‌ای کاملاً واضح و سیتوپلاسمی متراکم است (شکل‌های ۱۰-۱۱) و از پایداری زیادی برخوردارند؛ به طوری که در زمان تشکیل رویان نیز حضور دارند. در هر تخدمان یک عدد تخمک وجود دارد (شکل ۱۱).

از نکات متمایز کننده در این نمونه، حضور کریستال‌های سوزنی شکل در سلول‌های اپیدرم مادگی است (شکل‌های ۱۲-۱۳). علاوه بر این، در *I. aucheriana* ضخامت دیواره مادگی بسیار زیاد است و سطح آن پوشیده از کرک‌های تک رشته‌ای تک سلولی بسیار کشیده است (شکل ۱۳).

در مرحله کیسه‌رویانی بالغ، چند ویژگی ارزشمند تاکسونومیک در ۲۰ نمونه مورد اندازه‌گیری و ارزیابی قرار گرفت و میانگین مربوط به آنها محاسبه شد که به این شرح است: میانگین طول تخدمان، عرض تخدمان و ضخامت دیواره تخدمان در این مرحله از نمو به ترتیب ۵۱۵/۵، ۲۲۱/۵ و ۵۵/۵ میکرومتر (μm) اندازه‌گیری شد.

میانگین محور طولی تخمک در این مرحله از نمو حدود $329/5 \mu\text{m}$ ، میانگین محور عرضی تخمک $110/5 \mu\text{m}$ ، میانگین طول بند تخمک $26/5 \mu\text{m}$ و میانگین قطر بند تخمک $5/5 \mu\text{m}$ محاسبه شد. همچنین میانگین محور طولی کیسه رویانی بالغ $76 \mu\text{m}$ و میانگین محور عرضی کیسه رویانی بالغ $16/5 \mu\text{m}$ است.

مادگی تشکیل نشده، پرچم به صورت توده‌ای از یاخته‌های مریستمی تشکیل شده است. پرچم‌ها پنج عدد هستند (شکل ۲۵) و بساک آنها پیوسته است. بساک تراسپوراتی یا دارای چهار کیسه گرده است (شکل ۲۴). در مراحل اولیه نمو بساک در زیر اپیدرم، تا ۸ ردیف یاخته آرکثوسپوری تمایز پیدا می‌کند. دیواره بساک در این نمونه مشکل از چهار لایه است که شامل لایه روپوست، لایه مکانیکی، لایه میانی و لایه مغذی است، که تعداد هر یک از این لایه‌ها از یک عدد تجاوز نمی‌کند (شکل ۱۵). از نکاتی که در این نمونه جالب توجه است، حضور کریستال‌های سوزنی شکل در لایه مکانیکی است که باعث شده است این لایه به صورت کنگره‌ای دیده شود (شکل‌های ۲۴-۲۵). ضخیم شدگی‌های فیبری لایه مکانیکی در مرحله پایانی نمو دانه‌های گرده دو یاخته‌ای، صورت می‌گیرد. یاخته‌های لایه مغذی یک لایه مشخص را تشکیل می‌دهند که بافت هاگزای بساک را احاطه می‌کند (شکل‌های ۱۴-۱۹). در این گونه یاخته‌های لایه تاپی بیضی شکل و دو هسته‌ای هستند.

از آتجایی که یاخته‌های لایه تاپی در مراحل ابتدایی نمو بساک و دانه‌های گرده در جای خود ثابت باقی مانده، تحلیل نمی‌روند (شکل‌های ۲۱-۱۴) و وقتی که میکروسپورها در حال نمو به دانه گرده بالغ هستند، ضمایمی از یاخته‌های تاپی به سمت حفره بساک تشکیل می‌شود (شکل ۲۲)، بنابراین، می‌توان گفت لایه تاپی از نوع ترشحی است. در مرحله دانه‌های گرده دو یاخته‌ای، یاخته‌های تاپی تقریباً تحلیل می‌روند (شکل‌های ۲۳-۲۴).

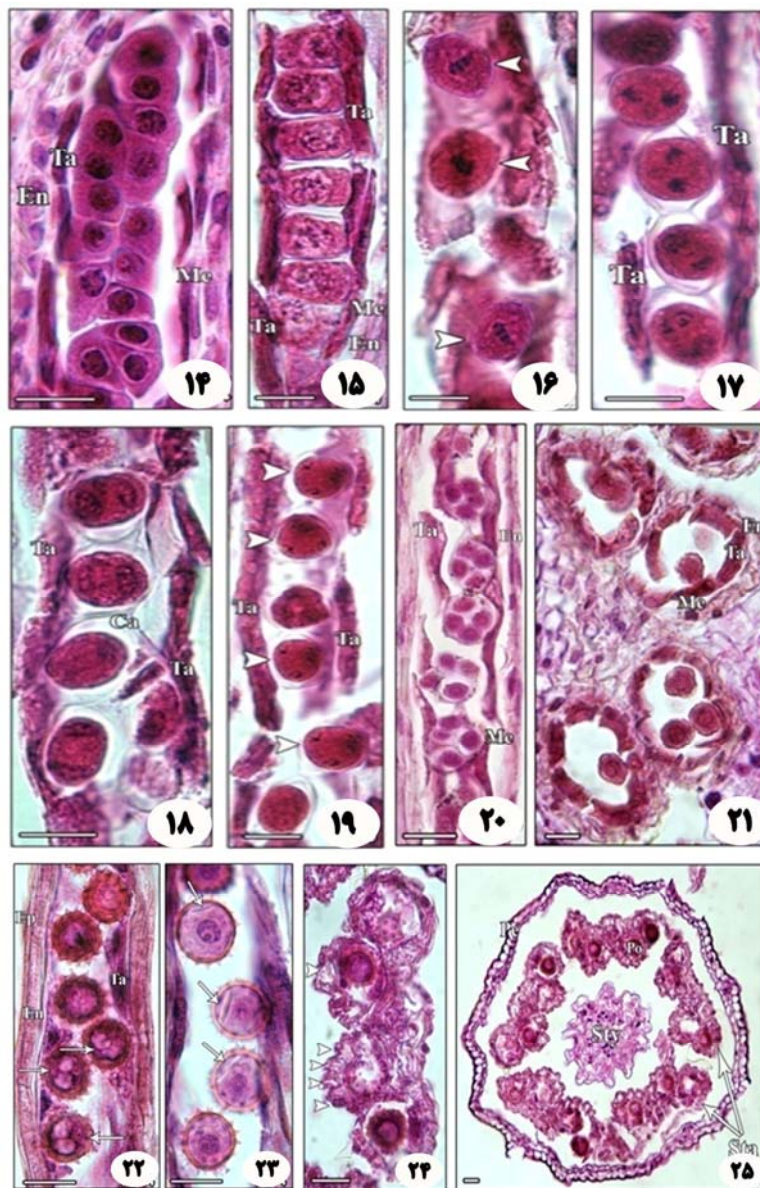
کالوزی در اطراف تترادها و لابه لای مونادها به خوبی مشخص است. میکروسپورها در زمان آزاد شدن هنوز واکوئله نیست و دارای سیتوپلاسم متراکم، شکل منظم با یک هسته مشخص و قرار گرفته در مرکز یاخته هستند (شکل ۲۱).

اطراف هر میکروسپور را دیواره‌ای اگزینی فرا گرفته است. پس از تحلیل دیواره کالوزی از اطراف تراسپورها و آزادی میکروسپورهای جوان، دیواره انتین در مجاورت سیتوپلاسم تشکیل می‌شود (شکل ۲۲). در این گونه، سه شیار رویشی بر روی دیواره گرده وجود دارد. با توسعه واکوئل مرکزی، هسته به موقعیت کناری رانده می‌شود؛ یعنی یک واکوئل بزرگ، سیتوپلاسم و هسته دانه گرده را به کناره‌ها می‌راند (شکل ۲۳). سپس، هسته به روش میتوуз تقسیم می‌شود و دو هسته نابرابر را به وجود می‌آورد: یک هسته بزرگ رویشی و یک هسته کوچک زایشی که به تشکیل دانه گرده دو هسته‌ای و نهایتاً دو یاخته‌ای منجر می‌شود.

بنابراین، در گونه *I. aucheriana* دانه‌های گرده بالغ آزاد شده از بساک دو یاخته‌ای است، که دانه‌های نشاسته نیز در آنها به چشم می‌خورد. در این دانه‌های گرده، علاوه بر نشاسته، دانه‌های روغنی نیز وجود دارد (شکل ۲۲). در این نمونه، حضور کریستال‌های سوزنی در دانه گرده مشهود است (شکل ۲۳). دانه‌های گرده تقریباً کروی شکل و دارای سه شیار بر روی دیواره گرده است که در محل شیارها اگزین وجود ندارد و انتین ضخیم‌تر است. سطح اگزین پوشیده از ترینات خار ماند است.

ویژگی‌های تکوینی پرچم در *I. aucheriana*

در این گونه تمایز و تکوین پرچم خیلی زود صورت می‌گیرد؛ به طوری که در مرحله‌ای که هنوز طرح اولیه



شکل ۱۴-۲۵- نشان‌دهندهٔ تکوین پرچم و دانه گرده در *Inula aucheriana* (۱۴) برش طولی از بساک، سلول‌های میکروسپوروسیت که در این نمونه در دو ردیف در برش طولی در بساک قرار می‌گیرند. در این برش به خوبی چهار لایه تشکیل دهندهٔ دیواره بساک؛ یعنی تابی (Ta)، لایه مکانیکی (En)، لایه میانی (Me) و اپیدرم (Ep) (دیده می‌شود. (۱۵) برش طولی از بساک که نشان‌دهندهٔ آغاز تقسیم میوز (پروفاز I) در یاخته‌های مادر گرده است. (۱۶) مرحله متافاز I (۱۷). آنفاز I. (۱۸) تلوفاز I. (۱۹) تلوفاز II. (۲۰) برش طولی بساک در مرحله تتراد میکروسپور. تتراد فقط از نوع تراگونال است. (۲۱) برش طولی بساک در مرحله میکروسپورها (گرده‌های جوان) رها شده از تتراد. شکل میکروسپورها منظم و هسته منفرد آنها قابل مشاهده است. لایه مغذی هنوز از بین نرفته است. (۲۲) در دانه‌های گرده جوان تشکیل دیواره خارجی (اگرین) مشهود است. دانه‌های گرده حاوی قطرات روغنی بزرگ (↑) و دانه‌های نشاسته هستند. (۲۳) دانه گرده بالغ حاوی کریستال‌های سوزنی شکل (↑) و اگرین دارای خارهای درشت است. (۲۴) لایه تابی به طور کامل تحلیل رفته است. لایه مکانیکی به علت حضور کریستال کنگره‌ای دیده می‌شود (↑). (۲۵) برش عرضی گل نشان‌دهندهٔ بساک با چهار کیسه گرده (تراسپورانژی) در مرحله دانه‌های گرده بالغ. شاخص معادل ۳۰ میکرومتر است.

ep: اپیدرم؛ en: لایه مکانیکی؛ Ta: تابی؛ Me: لایه میانی؛ Ca: لایه کالوز؛ pe: گلبرگ‌ها؛ Sta: بساک؛ Po: دانه گرده؛ Sty: خامه؛ pm: یاخته مادر گرده؛ sta: پرچم؛ ta: لایه مغذی.

بحث و نتیجه‌گیری تخمک و گامتوفت ماده

یاخته قرینه در کیسه رویانی بالغ قابل مشاهده است. دو هسته آزاد قطبی در بخش میانی کیسه رویانی قرار دارند که به سمت دستگاه تخم مهاجرت می‌کنند که تلفیق آنها در مجاورت دستگاه تخم و قبل از لقادح صورت می‌گیرد و باعث تشکیل هسته ثانویه می‌شود. در این گیاه، تقسیمات تخم ضمیمه قبل از تخم اصلی آغاز می‌شود. در کیسه رویانی تیپ پلی گونوم، یاخته‌های آنتی پود در قطب مقابل دستگاه تخم قرار دارند که معمولاً سه عدد هستند و از نظر اندازه (Maheshwari, 1950; Xiao and Yuan, 2006; Cameron and Prakash, 1994) و همچنین از نظر تعداد (Rangaswamy and Pullaiah, 1986) در گونه‌های مطالعه شده این تیره تنوع نشان داده‌اند. اندوتلیوم در این گونه یک لایه‌ای است همان طور که قبل‌برای گونه (Sood and Neelam, 2000) از ویژگی‌های گونه مورد مطالعه، حضور کریستال‌های سوزنی شکل در سلول‌های اپیدرم مادگی است که برای اولین بار گزارش می‌شود. براساس مطالعات مرجع شناختی ما وجود کریستال از سین آپومورفی‌های عمدۀ در طایفه Inuleae است (Judd et al., 1999). همچنین Meric (2009) حضور کریستال‌های اگزالات کلسیم را در قسمت‌های مختلف گیاهان این طایفه نشان داده است. از نکات جالب توجه دیگر این است که در *I. aucheriana* در سطح مادگی کرک‌های تک رشتۀ‌ای تک سلولی بسیار کشیده دیده می‌شود که به فراوانی در سطح مادگی پراکنده‌اند.

نتایج این مطالعه نشان داد که در هر تخدمان فقط یک تخمک واژگون کم خورش وجود دارد. در لایه زیر اپیدرمی تخمک فقط یک یاخته آرکتوسپوری وجود دارد که با پیشرفت رشد و تکوین تخمک، مستقیماً به یاخته مادر مگاسپور تمایز می‌یابد. موقعیت زیر اپیدرمی یاخته مگاگامتوسیت در سایر گیاهان این تیره نیز گزارش شده است (Johri et al., 1992). موقعیت مگاسپوروسیت در این نمونه در لایه سوم زیر اپیدرمی قرار گرفته است که با گزارش قبلی از گونه دیگر این جنس مغایر است (Yurukova-Grancharova et al., 2006).

مطالعه بر روی مگاسپورانثر نشان می‌دهد که شکل ترادها در این تیره دارای تنوع بسیار زیادی است. نتایج این پژوهش نشان داد در گونه مورد مطالعه تراد مگاسپورها از نوع T شکل است. مگاسپور شالازی تراد که به وسیله دیواره کالوزی پوشیده نشده است، موجب تشکیل کیسه رویانی مونوسپوری تیپ پلی گونوم می‌شود و سه مگاسپور دیگر به سرعت از بین می‌رود. وجود ترادهای خطی در گیاهان این تیره به وسیله پژوهشگران متعددی گزارش شده است (Rangaswamy and Pullaiah, 1986; Lakshmi and Pullaiah, 1979; Kapil and Bhatnagar, 1981). اما وجود تراد T شکل یک حالت نسبتاً نادر است. مگاسپور پایا، کیسه رویانی هشت هسته‌ای را به وجود می‌آورد که سپس به کیسه رویانی بالغ تمایز می‌یابد. در کیسه رویانی بالغ سه یاخته در مجاورت سُفت تمایز می‌یابند که شامل یک تخمزا و دو یاخته قرینه است. در این مطالعه، هر دو

گونه‌های متعددی از تیره Asteraceae گزارش شده است (Lakshmi and Pullaiah, 1979)، که با نتایج ما همسوی ندارد. در گیاه مورد مطالعه، یاخته‌های اولیه هاگزا مستقیماً به یاخته‌های مادر گرده تمایز پیدا می‌کنند که به صورت دو ردیفه در بخش میانی بساک استقرار دارند. گونه‌های معده‌دی وجود دارند که استقرار یک ردیفه یاخته‌های مادر گرده را از خود نشان دهند (Hu, 1982). متأسفانه، هنوز اهمیت استقرار یک یا چند ردیفه یاخته‌های مادر گرده از نظر تبارزایی گیاهی ناشناخته است (Pan *et al.*, 1997).

میوز در هر میکروسپورسیت به تشکیل تراد منجر می‌شود. ترادها فقط از نوع تراگونال هستند. وجود ترادهاست تراهدراو و صلیبی شکل نیز در گیاهان تیره Asteraceae گزارش شده است (Maheshwari, 1950). تکوین میکروسپورهای همه کیسه‌های گرده هم‌جوار، همزمان است. میکروسپورها در زمان آزاد شدن از ترادها هیچ واکوئی نداشته، دارای یک سیتوپلاسم متراکم، شکل منظم با یک هسته حجیم قرار گرفته در بخش میانی هستند. هسته‌ها با روش میتوز تقسیم شده و دو هسته نابرابر را به وجود می‌آورند که هسته بزرگتر رویشی و هسته کوچک‌تر زایشی است. بنابراین، دانه گرده دو هسته‌ای و سپس دانه گرده دو یاخته‌ای تشکیل می‌شود. نتایج پژوهش‌های گرده در این جنس، در مرحله بلوغ سه یاخته‌ای‌اند که با یافته‌های ما متفاوتند. دانه‌های گرده بالغ دارای ذرات نشاسته و قطرات روغنی هستند. دانه‌های گرده گونه مورد مطالعه، واجد کریستال‌های سوزنی شکل نیز هست. یکی از ویژگی‌های شاخص گونه مورد مطالعه، حضور کریستال در

بساک و دانه گرد

در گونه مورد مطالعه، نمو چهار لایه‌ای دیواره بساک بر اساس تیپ دو لایه‌ای انجام می‌گیرد (Davis, 1964). یاخته‌های آرکئوسپوری با سیتوپلاسم متراکم و هسته حجیم خودشان قابل تشخیص‌اند. این یاخته‌ها به صورت مماسی تقسیم شده، یاخته جداری بیرونی و هاگزا درونی را تشکیل می‌دهند (Xue and Li, 2005). ضخیم شدگی‌های فیری لایه مکانیکی با مشاهدات میکروسکوپی به خوبی (Yurukova-Grancharova, *et al.*, 2006) قابل تشخیص نیست. بر اساس نتایج ما در گونه مورد مطالعه، لایه میانی نمو پیدا می‌کند و بساک دارای چهار لایه است که با برخی گزارش‌های قبلی همسو است: Sood و Neelam (۲۰۰۰) با بررسی گونه *Inula cuspidate* و Pullaiah (۱۹۷۹) با مطالعه روی تعدادی از جنس‌های طایفه Inuleae، وجود چهار لایه بساک را برای این گونه‌ها گزارش کرده‌اند. همبستگی آشکاری بین تقسیمات میوزی در یاخته‌های مادر گرده و نمو لایه تاپی بساک وجود دارد که برای سایر گونه‌های این تیره نیز گزارش شده است (Steil, 1950). یاخته‌های لایه تاپی درجه بالایی از پلولیسیدی را نشان می‌دهند که نمایانگر فعالیت متابولیسمی بالای آنهاست و از این نظر شبیه به یاخته‌های آنتیپود کیسه رویانی هستند (Maheshwari, 1950). در نهاندانگان دو تیپ اصلی نمو (Pacini *et al.*, 1985) لایه تاپی بساک قابل تشخیص است: ترشحی (جداری) و آمیسی (periplasmoidal).

در گیاه مورد مطالعه، لایه تاپی از نوع ترشحی است که در آن تکثیر هسته‌ها صورت گرفته، و تعداد هسته‌ها در هر یاخته به دو یا سه افزایش می‌یابد. لایه تاپی آمیسی برای

گونه *Helianthus annuus* و Meric (۲۰۰۹) در برخی گونه‌های طایفه Inuleae گزارش کرده‌اند.

لایه مکانیکی بساک است که باعث شده است اپیدرم در این گونه کنگره‌دار دیده شود. Meric و Dane (۲۰۰۴) نیز حضور کریستال‌های سوزنی شکل اگزالت کلسیم را در

منابع

- Batygina, T. B. (1987) Embryology of flowering plants: terminology and concepts. Science Publishers, New York.
- Bremer, K. (1994) Asteraceae, Cladistics and Classification. Timber Press, Portland, Oregon.
- Cameron, B. G. and Prakash, N. (1994) Variations of the megagametophyte in the Papilionoidea. Advances in legume systematic. Structural Botany 6: 97-115.
- Chaudhury, A. M., Koltunow, A., Payn, T., Luo, M., Tucker, M. R., Dennis, E. S. and Peacock, W. J. (2001) Control of early seed development. Annual review of cell and developmental biology 17: 677-699.
- Cichan, M. A. and Palser, B. F. (1982) Development of normal and seedless achenes in *Cichorium intybus* (Compositae). American Journal of Botany 69: 885-895.
- Davis, G. L. (1964) Embryological studies in the compositae: Sporogenesis, gametogenesis, and embryogeny in *Brachycome ciliaris* (Labill.) Less. Australian Journal of Botany 12: 142-151.
- Davis, G. L. (1968) Apomixis and abnormal anther development in *Calotis lappulacea* Benth. (Compositae). Australian Journal of Botany 16: 1-17.
- Crawford, D. J., Tadesse, M., Mort, M. E., Kimball, R. T. and Randle, C.P. (2009) Coreopsidae (eds. Funk, V.A., Susanna, A., Stuessy, T. F. and Bayer, R. J.) 713-730. International Association of Plant Taxonomy, Washington D.C.
- Harling, G. (1951) Embryological studies in the Compositae: Anthemideae-Chrysantheminae. Acta Horticulture Bergiani 16: 1-56.
- Hind, D. J. N. (1995) Compositae (ed. Stannard, B. L.) 187-278. Royal Botanical Gardens, Kew.
- Hu, S. Y. (1982) Embryology of angiosperms. High Education Press, Beijing.
- Johri, B. M., Ambegaokar, K. and Srivastava, P. S. (1992) Comparative embryology of angiosperms. Springer-Verlag, Germany.
- Judd, W. E. S., Campbell, C. S., Kellogg, E. A. and Stevens, P. F. (1999) Plant systematic: a phylogenetic approach. Massachusetts, USA.
- Kadereit, J. W. and Jeffrey, C. (2007) Flowering plants vol. VIII. Eudicots. Asterales. Springer-Verlag Press, Berlin Heidelberg.
- Kapil, R. N. and Bhatnagar, A. K. (1981) Ultrastructure and biology of female gametophyte in flowering plants. Cytology 70: 291-337.
- Khan, A. L., Gilani, S. A., Fujii, Y. and Watanabe, K. N. (2008) Monograph on *Inula britannica* L. Mimatsu Corporation, Tokyo.
- Lakshmi S. P. and Pullaiah T. (1979) Embryology of *Senecio tenuifolius* Burm. f. (Asteraceae). Taiwania 32: 208-213.
- Maheshwari, P. (1950). An introduction to the embryology of angiosperms. McGraw-Hill, New York.
- Maoz, M., Kashman, Y. and Neeman, I. (1999) Isolation and identification of a new antifungal sesquiterpene lactone from *Inula viscosa*. Planta Medica 65:281-282.
- Meric, C. and Dane, F. (2004) Calcium oxalate crystals in floral organs of *Helianthus annulus* L. and *H. tuberosus* L. (Asteraceae). Acta Biologica Szegediensis 48:19-23.
- Meric, C. (2009) Calcium oxalate crystals in some species of the tribe Inuleae (Asteraceae). Acta Biologica Cracoviensia Series Botanica 51:

- 105-110.
- Pacini, E., Franchi, G. G. and Hesse, M. (1985) The tapetum: its form, function and possible phylogeny in Embryophyta. *Plant Systematic and Evolution* 149: 155-185.
- Pan, K. Y., Wen, J. and Zhou, S. L. (1997) Embryological study on *Mosla chinensis* (Lamiaceae). *Acta Botanica Sinica* 39: 111-116.
- Pandey, B. P. (2001) A textbook of botany, Angiosperms. Taxonomy, anatomy, embryology (including tissue culture) and economic botany. McGraw-Hill, New York.
- Pullaiah, T. (1979) Studies in the Embryology of Compositae. IV. The Tribe Inuleae. *American Journal of Botany* 66:1119-1127.
- Rangaswamy, V. and Pullaiah, T. (1986) Studies in the embryology of *Senecio candicans* DC. (Compositae). *Journal of Indian Botanical Society* 65: 509-512.
- Richards, A. J. (1997) Plant breeding systems. Chapman and Hall, New York.
- Shamrov, I. (1998) Ovule classification in flowering plants - new approach and concepts. *Botanische Jahrbucher fur Systematik* 120: 377-400.
- Sood, S. K. and Neelam, K. (2000) Investigations on embryology of *Inula cuspidata* Clarke (Asteraceae). *Journal of Indian Botanical Society* 79: 93-95.
- Steil, W. N. (1950) Some Evidences for the Interaction of Tapetal and Sporogenous Cells in Certain Vascular Plants. *Botanical Gazetti* 111: 300-306.
- Torre, M., Bosch, M., Martin, J. and Vallès, J. (1999) Cytogenetic and isozymic characterization of the narrow endemic species *Artemisia molinieri* (Asteraceae, Anthemideae): Implications for its systematic and conservation. *Canadian Journal of Botany* 77:51-60.
- Vallès, J., Garnatje, T., Garcia, S., Sanz, M. and Korbkov, A. A. (2005) Chromosome numbers in the tribes Anthemideae and Inuleae (Asteraceae) from Kazakhstan. *Botanical Journal of the Linnean Society* 148: 77-85.
- Vallès, J., Torrell, M., Garcia-Jacas, T., Yilatersana, N. and Susanna, A. (2003) The genus *Artemisia* and its allies: phylogeny of subtribe Artemisinae (Asteraceae) based on nucleotide sequence on nuclear ribosomal DNA internal transcribed spacers (ITS). *Plant Biology* 5: 274-278.
- Watanabe, W. (2002) Index to chromosome numbers in Asteraceae. Retrieved from <http://www-asteraceae.cla.kobe-u.ac.jp/index.html>. On 15 Aug 2008.
- Xiao, D. X. and Yuan, Z. (2006) Embryogenesis and seed development in *Sinomanglietia glauca* (Magnoliaceae). *Journal of Plant Research* 119: 163-166.
- Xue, C. Y. and Li, D. Z. (2005) Embryology of *Megacodon stylophorus* and *Veratrilla baillonii* (Gentianaceae): descriptions and systematic implications. *Botanical Journal of the Linnean Society* 147: 317-331.
- Yeung, E. C. (1984) Histological and histochemical staining procedures. (ed. Vasil, I. K.) 689-697. Academic Press, New York.
- Yurukova-Grancharova, P., Robeva-Davidova, P. and Vladimirov, V. (2006) Study on the embryology and mode of reproduction of selected diploid species of *Hieracium* (Asteraceae) from Bulgaria. *Flora* 201: 668-675.
- Zhao, Y. M., Zhang, M. L., Shi, Q. W. and Kiyota, H. (2006) Chemical constituents of Plants from the Genus *Inula*. *Chemical Biodiversity* 3: 371-384.

Study on the developmental stages of ovule and pollen grains of *Inula aucheriana* DC.

Abdolkarim Chehregani rad*, Somayeh Hajisadeghian and Fariba Mohsenzadeh

Department of Biology, Faculty of Science, Bu-Ali Sina University, Hamedan

Abstract

In this research, developmental stages of ovule and pollen grains of *Inula aucheriana* were studied. The flowers and buds, in different developmental stages, were removed, fixed in FAA₇₀, stored in 70% ethanol, embedded in paraffin and then sliced at 7-10 µm by microtome. Staining was carried out with PAS and contrasted with Hematoxylin. The results indicated that anthers were tetra-sporangiate and anther tapetum type was as secretory type one. Pollen tetrads were tetragonal. Pollen grains, when shed had three colpes and needles on the surface. Ovule was anatropous, unitegmic and tenuinucellate. Endothelium was uni-seriate. Endothelium layer was composed of monolayer cells. Embryo sac development was of monosporic and *Polygonum* type. The shape of megasporite tetrads was both tetrahedral and T-form. Functional megasporite was the chalazal one. Embryo sac was very small at the beginning of development, so that their nuclei were arranged as linear, but its size was increased in later of development. Antipodal nuclei were massive and exhibited polyploidy. Results of this research showed the presence of needle formed crystals in the epidermal cells of ovary that was species specific characteristic. On the outer surface of ovary long, filamentous and one-celled trichomes were visible.

Key words: Pollen grain, Ovule, Megasporogenesis, Microsporogenesis, Asteraceae,

Inula aucheriana

* Corresponding Author: chehregani@basu.ac.ir